



Московский государственный университет имени М.В.  
Ломоносова  
Факультет вычислительной математики и кибернетики  
Кафедра исследования операций

Лаврухин Ефим Валерьевич

Применение нейронных сетей для решения  
задачи оптимальной сегментации  
томографических изображений  
геологических пород

МАГИСТЕРСКАЯ ДИССЕРТАЦИЯ

Научный руководитель:  
к.ф.-м.н., доцент  
Д.В. Денисов

Москва, 2018

# Содержание

|          |   |           |
|----------|---|-----------|
| <b>1</b> | <b>Введение</b>   | <b>2</b>  |
| <b>2</b> | <b>Постановка задачи сегментации</b>                      | <b>4</b>  |
| <b>3</b> | <b>Особенности задачи сегментации геологических пород</b> | <b>6</b>  |
| <b>4</b> | <b>Постановка задачи сегментации с учителем</b>           | <b>7</b>  |
| <b>5</b> | <b>Выбор модели</b>                                       | <b>9</b>  |
| <b>6</b> | <b>Оптимизация модели</b>                                 | <b>12</b> |
| 6.1      | Оптимизируемый функционал . . . . .                       | 12        |
| 6.2      | Метод оптимизации . . . . .                               | 13        |
| <b>7</b> | <b>Ход работы</b>   | <b>15</b> |
| 7.1      | Прикладная задача . . . . .                               | 15        |
| 7.2      | Данные для экспериментов . . . . .                        | 15        |
| 7.3      | Разделение данных на обучающие и тестовые . . . . .       | 16        |
| <b>8</b> | <b>Результаты</b>   | <b>18</b> |
| 8.1      | Обучение моделей . . . . .                                | 18        |
| 8.2      | Выбор порога вероятности . . . . .                        | 19        |
| 8.3      | Оценка ошибок в разных плоскостях . . . . .               | 21        |
| 8.4      | Оценка качества моделей . . . . .                         | 21        |
| <b>9</b> | <b>Заключение</b>   | <b>25</b> |
|          | Литература  | 27        |

# 1 Введение

В настоящее время добыча полезных ископаемых требует большое количество данных о разрабатываемых породах-коллекторах. Эти данные получают в том числе с помощью методов цифровой петрофизики, которые работают с 2-D или 3-D изображениями, сделанными с помощью рентгеновской томографии [1]. Большинство изображений строения пород представлены в грациях серого, которые указывают на интенсивность поглощения рентгеновских лучей. На практике любой метод численного расчета характеристик исходных пород состоит из нескольких отдельных этапов. И первый этап – это сегментация входного изображения, разделение его на несколько различных фаз по плотности вещества. В простейшем случае выполняется бинаризация – разделение на твёрдую породу и поры [2].

Цель данной работы – применить методы глубинного обучения, а именно полносвёрточные нейронные сети, для задачи сегментации изображений геологических пород.

Существует большое количество методов сегментации. Они существенно отличаются в принимаемых предположениях о входных изображениях и используемом математическом аппарате. Вот некоторые из них: градиентные [13], морфологические [16], случайные поля [14], методы Монте-Карло [15]. У этих методов есть ряд достоинств: присутствует математическая формализация, относительная простота постановки задачи, интерпретируемость результатов. Но в то же время все они обладают серьёзным недостатком – в них присутствуют гиперпараметры, которые сильно влияют на качество результата. Это делает затруднительным их применение без оператора, который контролирует процесс и подбирает нужные значения параметров для конкретных входных дан-

ных.

Относительно недавно появились методы сегментации с использованием машинного обучения. Классические методы машинного обучения уже применялись в сегментации изображений геологических пород [3], [4], [5].

Сейчас свёрточные нейронные сети являются, фактически, state-of-the-art в задачах обработки изображений и используются во многих прикладных областях: биологии [6], медицине [17], распознавании образов [11]. На текущий момент выпущено достаточно много работ, в которых исследуются методы глубинного обучения для решения связанных с сегментацией пород задач. В частности для построения стохастической реконструкции пород с последующим моделированием физических свойств [7], [8], [9], [10]. Но статей, в которых глубинное обучение применяется для сегментации геологических пород, крайне мало.

В ходе работы для достижения поставленной цели решались следующие задачи:

1. Постановка задачи оптимальной сегментации как задачи нелинейной оптимизации(разделы 2, 3, 4).
2. Выбор полносвёрточной архитектуры нейронной сети, которая выполняет сегментацию изображений томограмм(раздел 5).
3. Построение стабильного алгоритма обучения сети(раздел 6).
4. Решение проблемы отсутствия размеченных обучающих данных(раздел 7).
5. Проверка модели на реальных данных(раздел 8).

## 2 Постановка задачи сегментации

Сначала рассмотрим простейшую постановку задачи сегментации изображения.

### Задача сегментации изображения

**Дано:** изображение  $S = (s_{ij})_{i=1,j=1}^{H,W}$ ,  $s_{ij} \in [0, 1]$ , где  $H$  – высота изображения,  $W$  – ширина изображения.

**Найти:** для каждого пикселя соответствующий ему сегмент изображения, т.е. соответствие  $s_{ij} \rightarrow m_{ij}$ ,  $m_{ij} \in C = \{0, \dots, N_c - 1\}$ , где  $N_c$  – число различных сегментов.

Подразумевается, что для каждого изображения  $S$  существует истинное (возможно, не одно) сегментированное изображение  $M$ . Поэтому можно перейти к следующей постановке задачи: найти алгоритм сегментации  $\mathcal{A}$ , такой, что он преобразует любое изображение  $S$  в маску  $\hat{M}$ :

$$\mathcal{A}(S|\theta) = \hat{M} \quad (1)$$

, где  $\theta$  – настраиваемые параметры нашего алгоритма.

Для задачи возникают следующие вопросы:

1. Как выбрать алгоритм  $\mathcal{A}$ ?
2. Как настроить параметры  $\theta$ ?
3. Как оценить ошибку алгоритма?

Существуют различные способы решения этих вопросов. Выбор алгоритма  $\mathcal{A}$  и способа оценки качества его работы обуславливается задачей и необходимыми результатами. Подбор параметров  $\theta$  выполняется непо-

средственно оператором, с помощью обучения без учителя(unsupervised learning) или с помощью обучения с учителем(supervised learning).

### 3 Особенности задачи сегментации геологических пород

Для задачи сегментации томографических изображений геологических пород существуют некоторые особенности.

#### Задача сегментации томографических изображений

**Дано:** исходный стек изображений  
 $S = (s_{ijk})_{i=1,j=1,k=1}^{H,W,D}$ ,  $s_{ijk} \in [0, 1]$ , где  $H$  – высота изображения,  $W$  – ширина изображения,  $D$  – количество изображений.

**Найти:** для каждого пикселя соответствующую ему метку класса, т.е. соответствие  $s_{ijk} \rightarrow m_{ijk}$ ,  $m_{ijk} \in C = \{0, 1\}$ , где класс 0 относится к порам, а класс 1 – твердому веществу.

Особенности данной задачи, по сравнению с аналогичной в разделе 2:

1. Работа с 3-D изображениями.
2. Двухклассовая сегментация.
3. Наличие сегментированных стеков, для которых известно  $\hat{M}$  некоторого ”качественного” алгоритма.

Как правило, данная задача на практике решалась методами MRF [14], SAC [12] и некоторыми другими. Собрана некоторая база изображений  $S, \hat{M}$ , качество сегментации которых оценивалось оператором.

В таком случае естественно перейти к задаче обучения с учителем (supervised learning), чтобы использовать накопившуюся библиотеку сегментированных изображений.

## 4 Постановка задачи сегментации с учителем

Теперь опишем задачу сегментации с учителем.

### Задача обучения с учителем

**Дано:** пространство объектов  $X$  и пространство ответов  $Y$ . Между ними существует соответствие (функция)  $f : X \rightarrow Y$ , множество примеров отображения  $f : \{(X_1, Y_1), \dots, (X_N, Y_N)\}$ ,  $f(X_i) = Y_i$ ,  $i = \overline{1, N}$ , параметрическое семейство функций  $f_\theta : X \rightarrow Y$ .

**Найти:** наилучшим образом приблизить соответствие  $f$  на всём пространстве  $X$  с помощью параметрического семейства функций  $f_\theta$ , используя данное множество примеров отображения.

В конкретном случае пространство  $X$  является пространством изображений, это накладывает ограничения на виде объектов. Множество примеров из пространства  $X$  задаётся в виде:

$$\hat{X} = \{X_1, \dots, X_N\}, \quad X_k = (x_{ij})_{i=1, j=1}^{H, W}, \quad x_{ij} \in [0, 1]. \quad (2)$$

Пространство ответов из  $Y$  так же является пространством изображений, но с дискретными элементами. Сейчас рассматривается бинарная сегментация, поэтому множество примеров задаётся в виде:

$$\hat{Y} = \{Y_1, \dots, Y_N\}, \quad Y_k = (y_{ij})_{i=1, j=1}^{H, W}, \quad y_{ij} \in \{0, 1\}. \quad (3)$$

Задача, по сути, сводится к выбору параметра  $\theta$  в рамках параметрического семейства  $f_\theta$ . Конкретное значение параметра обычно выби-



рается исходя из функционала качества модели (функции эмпирического риска):

$$Q(\theta, (\hat{X}, \hat{Y})) = \sum_{i=1}^N \mathcal{L}(f_{\theta}(X_i), Y_i) \longrightarrow \min_{\theta}. \quad (4)$$

Обычно выбирается подходящая по свойствам функция потерь  $\mathcal{L}(\bar{Y}, Y)$ , и оптимизационная задача (4) решается с помощью какого-нибудь метода оптимизации: метода первого порядка (например, стохастического градиента), метода второго порядка (например, LBFGS), максимизации правдоподобия (например, ЕМ), эвристического (например, отжига) или другого.

## 5 Выбор модели

В качестве семейства функций  $f_\theta$  из задачи раздела 4 в данной работе использовалась полносвёрточная нейронная сеть (fully-connected convolutional neutral network). В качестве основы была выбрана архитектура U-net [6], которая зарекомендовала себя в решении задач биологии (выделение границ клеток).

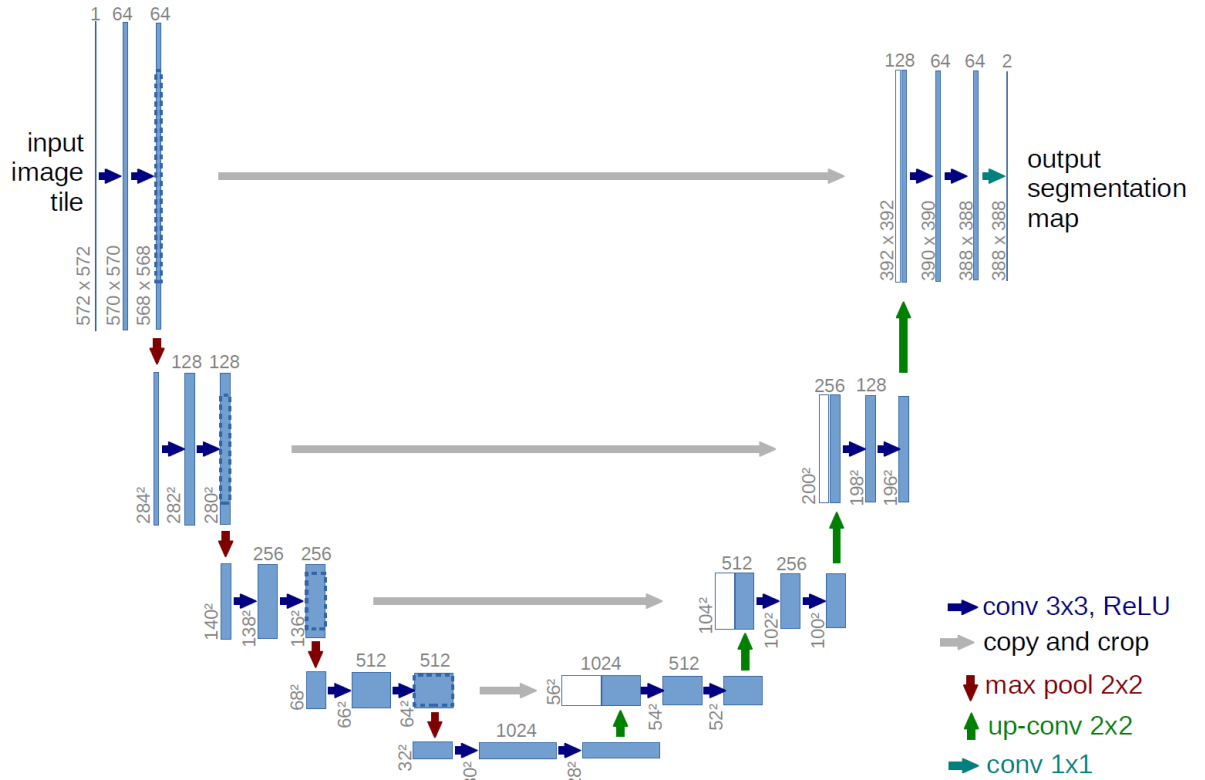


Рис. 1: Иллюстрация архитектуры U-net из оригинальной статьи [6]

В архитектуру [6] были внесены незначительные изменения: уменьшено количество свёрточных фильтров, добавлен padding, изменена функция активации на ELU.

Сеть представляет из себя композицию линейных сверток (7), конкатенаций (8), и transposed convolutions (действие которых эквивалентно обратному действию свёрточных слоев, т.е по выходу свёрточного слоя  $y$  и фильтрам  $w$  получается вход свёрточного слоя  $x$ ) и нелинейных пре-

образований активации (5), (6), pooling (9) которые применяются последовательно. Вероятности на выходе обеспечиваются с помощью softmax-преобразования выхода сети:

$$y = \begin{cases} x, & \text{при } x \geq 0, \\ e^x - 1, & \text{при } x < 0. \end{cases} \quad (5)$$

$$y_{c,i,j} = \frac{e^{x_{c,i,j}}}{\sum_{l=1}^C e^{x_{l,i,j}}} \quad (6)$$

$$x \in \mathbb{R}^{C \times W \times H}, \quad y \in \mathbb{R}^{C \times W \times H}$$

$$\begin{aligned} y_{c,i,j} &= \sum_{l=1}^C \sum_{m=1}^{\min(W-i,K)} \sum_{n=1}^{\min(H-j,K)} x_{l,i+m,j+n} w_{l,m,n}^c \\ , \quad c &= \overline{1, T}, \quad i = \overline{1, W}, \quad j = \overline{1, H} \\ , \quad \text{где } x &\in \mathbb{R}^{C \times W \times H} - \text{вход свёртки} \\ , \quad y &\in \mathbb{R}^{T \times W \times H} - \text{выход свёртки} \\ , \quad w^c &\in \mathbb{R}^{C \times K \times K} - \text{фильтры свёрток} \\ , \quad c &= \overline{1, C} - \text{количество свёрток.} \end{aligned} \quad (7)$$

$$z_{c,i,j} = \begin{cases} x_{c,i,j}, & \text{если } c \leq C, \\ y_{c-C,i,j}, & \text{если } c > C \end{cases} \quad (8)$$

$$, \quad \text{где } x \in \mathbb{R}^{C \times W \times H}, \quad y \in \mathbb{R}^{T \times W \times H}, \quad z \in \mathbb{R}^{(T+C) \times W \times H}$$

$$\begin{aligned} y_{c,i,j} &= \max_{\substack{m=1, \min(W-i,K) \\ n=1, \min(H-j,K)}} x_{c,iK+m,jK+n} \\ , \quad \text{где } x &\in \mathbb{R}^{C \times W \times H} - \text{вход pooling'a} \\ , \quad y &\in \mathbb{R}^{C \times \left\lceil \frac{W+K-1}{K} \right\rceil \times \left\lceil \frac{H+K-1}{K} \right\rceil} - \text{выход pooling'a} \\ , \quad K &- \text{размер ядра pooling'a.} \end{aligned} \quad (9)$$

В итоге модель реализует следующее отображение:

$$\begin{aligned} f_{\theta}(x) &= y, \\ x &\in \mathbb{R}^{1 \times H \times W}, \quad y \in \mathbb{R}^{2 \times H \times W} \end{aligned} \tag{10}$$

, где первая размерность – число каналов изображения (на входе один, потому что изображение grayscale; на выходе два: в первом канале вероятность того, что текущий пиксель – это пора, во втором – что это твёрдое вещество), последние две размерности – это размер изображений. В качестве оптимизируемых в задаче (4) параметров модели  $\theta$  выступает совокупность весов convolutional и transposed convolutional слоёв.

## 6 Оптимизация модели

### 6.1 Оптимизируемый функционал

Для финальной постановки задачи осталось выбрать функцию потерь  $\mathcal{L}(\bar{Y}, Y)$ . Поскольку выход модели (10) является бинарными вероятностями, подходящей функцией является кросс-энтропия:

$$CE(\bar{Y}, Y) = - \sum_{i=1, j=1}^{W, H} \left( Y_{ij} \log \bar{Y}_{0ij} + (1 - Y_{ij}) \log(1 - \bar{Y}_{1ij}) \right). \quad (11)$$

Выбор обуславливается тем, что функция гладкая, выпуклая, минимум достигается при выборе с помощью прогноза  $\bar{Y}$  верного класса и функция имеет адекватную вероятностную интерпретацию.

Так же в качестве метрики качества в задачах сегментации используют коэффициент Жаккара:

$$J(A, B) = \frac{|A \cap B|}{|A \cup B|} \quad (12)$$

, где в качестве множеств  $A$  и  $B$  выступают множество пикселей, отнесённые к первому(второму) классу моделью, и множество пикселей, образующих правильный ответ для первого(второго) класса.

Коэффициент Жакарра (12) нельзя использовать для обучения модели напрямую, потому что для его вычисления требуется определённый(метка конкретного класса) прогноз модели, а модель (10) возвращает вероятности меток. При переходе от вероятности к меткам по порогу(например, при  $p < \tau = 0.5$  предсказывается первый класс, иначе – второй) функция перестаёт быть гладкой. Поэтому в качестве функции потерь можно использовать гладкую аппроксимацию (12). Можно придумать различные виды аппроксимации, в данной работе применялась

следующая(такой подход использован в [19]):

$$sIOU(\bar{Y}, Y) = \sum_{i=1, j=1}^{W, H} \frac{Y_{ij}\bar{Y}_{ij} + \varepsilon}{Y_{ij} + \bar{Y}_{ij} - Y_{ij}\bar{Y}_{ij} + \varepsilon}. \quad (13)$$

Можно убедиться, что при "стремлении"  $\bar{Y}$  к  $Y$  значение  $sIOU(\bar{Y}, Y)$  стремится к  $J(A(\bar{Y}, \tau), Y)$  при любом выборе порога  $\tau$ . В выражении (13) фигурирует константа  $\varepsilon$ (на практике, например,  $\varepsilon = 10^{-5}$ ), которая используется для вычислительной стабильности.

Итоговая функция потерь, которая использовалась для оптимизации модели, имеет вид:

$$\mathcal{L}(\bar{Y}, Y) = CE(\bar{Y}, Y) - \gamma \log(sIOU(\bar{Y}, Y)) \quad (14)$$

, где  $\gamma$  - коэффициент соотношения функций потерь. Величина (13) находится под логарифмом для коррекции соотношения к величине (11).

## 6.2 Метод оптимизации

Последним шагом для завершения модели является выбор метода решения задачи (10) для функции потерь (14).

Для задач оптимизации параметров нейронных сетей характерны следующие особенности:

- Огромное число оптимизируемых параметров.
- Непрерывное пространство оптимизируемых параметров.
- Возможность аналитического вычисления градиентов с помощью алгоритма обратного распространения ошибок(back propogation).

- Сложная структура оптимизируемого функционала: отсутствие выпуклости, множество седловых точек и локальных минимумов.
- Большой размер обучающей выборки.

В связи с непрерывной структурой пространства параметров и возможностью вычислять аналитические градиенты эвристические (отжиг, генетические алгоритмы) методы для оптимизации параметров нейронных сетей применяются редко. Из-за огромного числа параметров квадратичные методы оптимизации не применимы, даже квазиньютоновские методы, как правило, оказываются неоправданно медленными. Для обучения используются тренировочные выборки большого размера, поэтому методы оптимизации должны обрабатывать выборку порционно (по батчам).

По этим причинам задачи оптимизации в нейронных сетях решаются в основном с помощью вариаций стохастического градиента. В основном используются варианты с моментумом (для выхода из седловых точек и плохих локальных минимумов) и адаптивным темпом обучения. В данной работе в качестве метода оптимизации использовался ADAM [18].

## 7   Ход работы

### 7.1   Прикладная задача

Задача, которая стояла перед началом работы, – проверить возможность применения глубинного обучения для сегментации изображений геологических пород. В настоящее время для решения данной задачи используются методы без обучения, поэтому для настройки параметров методов необходим оператор, который будет валидировать полученные результаты. Методы глубинного обучения выглядят привлекательными для данной задачи по следующим причинам:

- Автоматическая оптимизации параметров, а значит полной независимости от оператора.
- Оптимизация на этапе обучения, отсутствие оптимизации на этапе прогноза.
- Высокая обобщающая способность, возможность построения универсальной модели для широкого класса пород.

### 7.2   Данные для экспериментов

Из-за наличия обучения возникает проблема формирования обучающей выборки: сейчас не существует коллекции правильно размеченных томограмм геологических пород. Альтернативой является использование в качестве обучающей выборки изображений, полученных с помощью других методов под контролем оператора. Именно такой путь был выбран в данной работе.

В качестве тренировочной выборки были выбраны образцы следующих пород: карбонаты(4 образца, названия: carb96558, carb71, carbRNF,



SPE-carb) песчаники(4 образца, названия: SoilAh-1, SoilB-1, SoilB-2, TiTree-1, TiTree-2) и почвы(3 образца, названия: Urna-22, Urna-30, Urna-34). В качестве истинной сегментации использовались изображения, полученные с помощью метода CAC(convergene active contours) [12].

### 7.3 Разделение данных на обучающие и тестовые

В ходе работы было построено 7 моделей, каждая модель обучалась на 700 парах изображение-сегментация, изображения размера  $700 \times 700$ . Модели можно разделить на три группы:

1. Одиночные модели:

- Модель для карбонатов обучалась на образце carb96558.
- Модель для почв обучалась на образце SoilB-2.
- Модель для песчаников обучалась на образце Urna-22.

2. Парные модели:

- Парная модель для карбонатов и почв обучалась на образцах carb96558 и SoilB-2, обучающие пары распределялись в пропорции 1 : 1.
- Парная модель для карбонатов и песчаников обучалась на образцах carb96558 и Urna-22, обучающие пары распределялись в пропорции 1 : 1.
- Парная модель для песчаников и почв обучалась на образцах Urna-22 и SoilB-2, обучающие пары распределялись в пропорции 1 : 1

3. Общая модель для песчаников, почв и карбонатов обучалась на образцах Urna-22, SoilB-2 и carb96558, обучающие пары распределялись в пропорции 1 : 1 : 1.

В качестве образцов для обучения намерено выбирались наименее "особенные" образцы, чтобы проверить обобщающую способность модели, возможности справляться с объектами с отличиями от обучающей выборки.

## 8 Результаты

### 8.1 Обучение моделей

Процесс обучения состоял из 10 эпох. В каждой эпохе модель обучалась на случайной подвыборке тренировочной выборки, размер случайной подвыборки  $\frac{1}{5}$  от всей выборки. Таким образом каждый обучающий пример подавался в модель в среднем 2 раза за время обучения. В качестве входных данных модели подавались 2-D фрагменты изображений образцов размером  $64 \times 64$ , которые были получены разделением исходных изображений на части с минимальным наложением. Все изображения образца расположены в одной плоскости, 3-D структура образца формируется путём "наложения" изображений друг на друга.

В качестве целевого функционала использовался (14) с  $\gamma = 1, \varepsilon = 10^{-5}$ . Модель обучалась с помощью метода ADAM [18] с параметрами  $\alpha = 10^{-3}, \beta_1 = 0.9, \beta_2 = 0.999$ . Так же использовалось мультипликативное понижение темпа обучение, т.е. на каждой эпохе  $\alpha$  домножалось на темп снижения  $\lambda = \sqrt[10]{10^{-2}}$  (такая константа выбрана для того, чтобы на последней эпохе темп обучения снизился до  $\alpha = 10^{-5}$ ).

В процессе обучения отслеживалась величина оптимизируемого функционала (14), а так же следующие функции качества: logistic loss (11), sIOU (13) и точность предсказаний по фиксированному порогу  $\tau = 0.5$ .

На рис. 8.1, 8.1 приведены примеры кривой обучения для нескольких моделей. Видно, что метрики ведут себя согласованно (т.е. сохраняется тренд повышения качества по всем метрикам). К последним эпохам метрики выходят на плато, что говорит о стабилизации параметров модели.

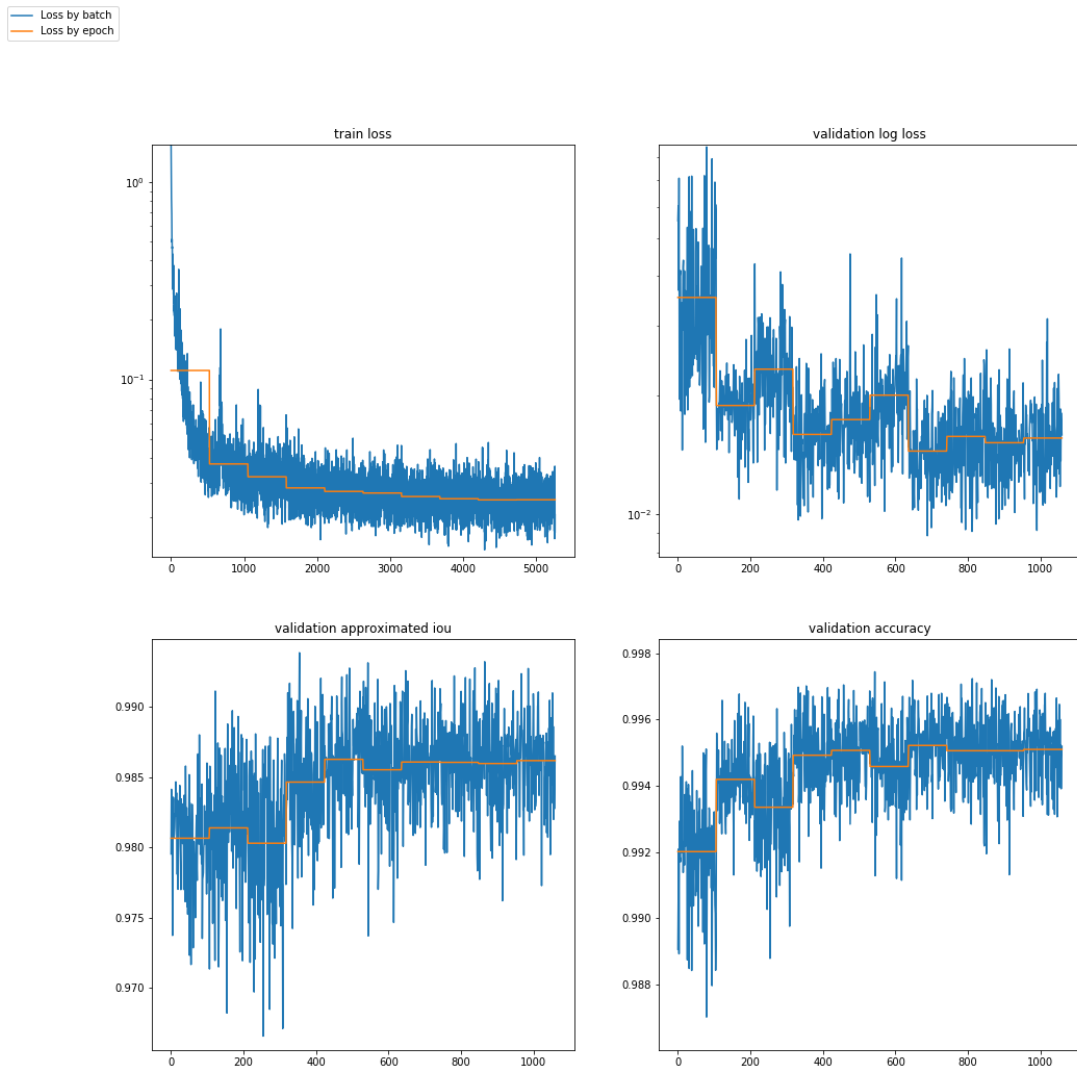


Рис. 2: График кривой обучения для одиночной модели из группы 1, обученной на

## 8.2 Выбор порога вероятности

В рамках прикладной задачи по обработке образцов томограмм геологических пород от модели требуется получение бинарной маски предсказанных классов для пикселей исходного изображения. Модель (10) предоставляет распределение вероятностей классов. Для того, чтобы перейти от вероятностей к бинарным меткам, требуется выбрать порог перехода  $\tau$  (для отслеживания прогресса в обучении модели, как указано в

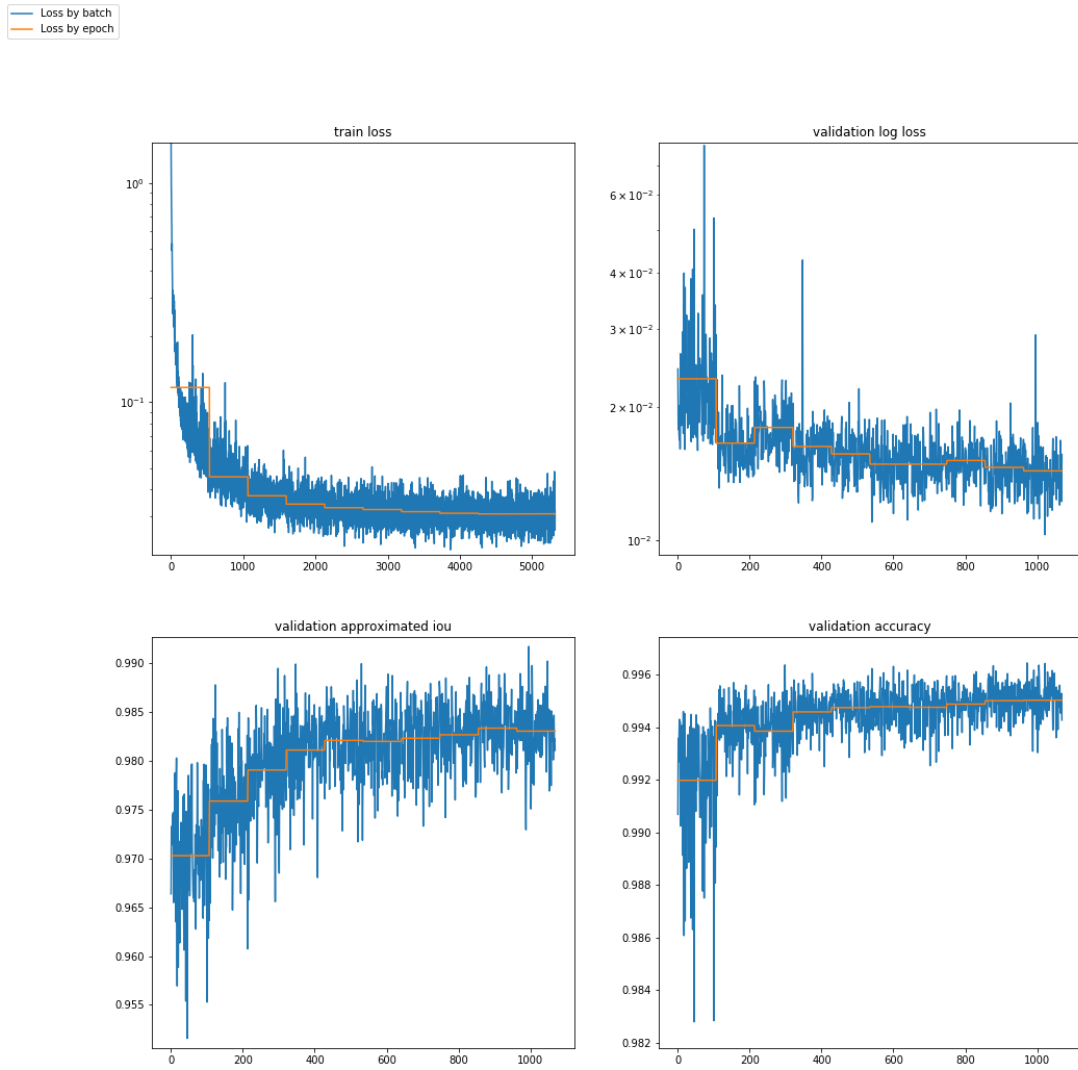


Рис. 3: График кривой обучения для общей модели группы 3.

предыдущем порразделе, выбиралось  $\tau = 0.5$ ). Поскольку конечная цель данной работы - это получение модели с высокой обобщающей способностью, применимой к различным видам пород, подбор параметра порога  $\tau$  выглядит затруднительной задачей (в самом деле, он может быть разным для разных образцов пород, а значит его нельзя заранее получить для образцов, которые обрабатываются впервые, и для которого нет аналогичных обработанных образцов).

В ходе экспериментов было установлено, что модель (10), которая

тренируется для минимизации функции качества (14), имеет необычную (нехарактерную для подобных моделей) плотность распределения вероятностей пикселей  $f(p)$  - вся вероятностная масса расположена вблизи 0 и 1. Это значит, что качество бинарного прогноза модели устойчиво к выбору порога в широком интервале (в экспериментах любой порог  $\tau \in [0.1, 0.9]$  показывал примерно аналогичный результат). Из вышесказанного следует, что данное свойство модели имеет большое практическое значение.

### 8.3 Оценка ошибок в разных плоскостях

Поскольку обучающие примеры были взяты из одной плоскости, а образцы являются трёхмерными, требовалось проверить качество предсказания модели в другой плоскости, ортогональной плоскости, из которой брались обучающие примеры.

Эксперименты показали, что нет существенного различия в качестве сегментации для изображений, взятых из различных плоскостей. Эксперименты показывают равенство функционалов качества, а так же визуальную эквивалентность результатов.

### 8.4 Оценка качества моделей

Результаты для моделей из секции (1) приведены в таблицах (1-9). Таблицы организованы следующим образом: каждая таблица показывает результат работы всех моделей на данном образце, выделенные значения - лучший результат конкретной метрики среди всех моделей.

Результаты можно охарактеризовать следующим образом:

- Модели из группы (1) хорошо работают для образцов того типа, на

котором были обучены, на остальных образцах результаты заметно хуже

- Модели из групп (2), (3) работают хорошо на большинстве образцов, но хуже, чем модели из (1) на специфичных для них образцах
- Образцы в почвах похожи на песчаники, поэтому модели, обученные на песчаниках, хорошо отрабатывают для почв(в обратную сторону связь не действует, песчаники более специфичной структуры)
- Есть специфичные образцы, на которых все модели работают не лучшим образом(carbRNF), они специально были добавлены для проверки результатов. На этом образце лучше всего работает модель из группы (1) для песчаников, что объясняет специфичность данного образца(карбонат, но похож на песчаник).
- Модель (3) показывает себя относительно хорошо на всех образцах.

| Модель                     | Метрика |        |        |          |           |        |
|----------------------------|---------|--------|--------|----------|-----------|--------|
|                            | logloss | PR-AUC | iou    | accuracy | precision | recall |
| <b>carb96558</b>           | 0,0626  | 0,9999 | 0,9883 | 0,9897   | 0,9948    | 0,9935 |
| <b>SoilB-2</b>             | 0,0856  | 0,9993 | 0,9719 | 0,9747   | 0,9768    | 0,9949 |
| <b>Urna_22</b>             | 0,2514  | 0,9992 | 0,9740 | 0,9771   | 0,9996    | 0,9744 |
| <b>Carb96558 + SoilB-2</b> | 0,0421  | 0,9999 | 0,9882 | 0,9895   | 0,9917    | 0,9965 |
| <b>Carb96558 + Urna_22</b> | 0,1248  | 0,9997 | 0,9847 | 0,9865   | 0,9977    | 0,9870 |
| <b>SoilB-2 + Urna_22</b>   | 0,0982  | 0,9998 | 0,9863 | 0,9879   | 0,9977    | 0,9886 |
| <b>All</b>                 | 0,0842  | 0,9999 | 0,9872 | 0,9887   | 0,9974    | 0,9897 |

Таблица 1: Результаты для образца carb96558

| Модель              | Метрика |        |        |          |           |        |
|---------------------|---------|--------|--------|----------|-----------|--------|
|                     | logloss | PR-AUC | iou    | accuracy | precision | recall |
| carb96558           | 0,2977  | 0,9907 | 0,9317 | 0,9361   | 0,9336    | 0,9978 |
| SoilB-2             | 1,2784  | 0,9030 | 0,8311 | 0,8346   | 0,8848    | 0,9320 |
| Urna_22             | 0,1345  | 0,9994 | 0,9727 | 0,9760   | 0,9921    | 0,9803 |
| Carb96558 + SoilB-2 | 0,6819  | 0,9274 | 0,8992 | 0,9033   | 0,9098    | 0,9872 |
| Carb96558 + Urna_22 | 0,1551  | 0,9968 | 0,9598 | 0,9637   | 0,9664    | 0,9929 |
| SoilB-2 + Urna_22   | 0,3964  | 0,9935 | 0,9223 | 0,9292   | 0,9568    | 0,9624 |
| All                 | 0,2835  | 0,9890 | 0,9380 | 0,9429   | 0,9474    | 0,9895 |

Таблица 2: Результаты для образца carbRNF

| Модель              | Метрика |        |        |          |           |        |
|---------------------|---------|--------|--------|----------|-----------|--------|
|                     | logloss | PR-AUC | iou    | accuracy | precision | recall |
| carb96558           | 0,0473  | 0,9999 | 0,9848 | 0,9861   | 0,9848    | 1,0000 |
| SoilB-2             | 0,0695  | 0,9998 | 0,9789 | 0,9806   | 0,9790    | 0,9999 |
| Urna_22             | 0,0668  | 0,9999 | 0,9900 | 0,9910   | 0,9966    | 0,9934 |
| Carb96558 + SoilB-2 | 0,0590  | 0,9999 | 0,9827 | 0,9841   | 0,9827    | 1,0000 |
| Carb96558 + Urna_22 | 0,0500  | 0,9990 | 0,9879 | 0,9890   | 0,9883    | 0,9996 |
| SoilB-2 + Urna_22   | 0,0379  | 0,9998 | 0,9874 | 0,9886   | 0,9876    | 0,9999 |
| All                 | 0,0353  | 0,9998 | 0,9869 | 0,9881   | 0,9870    | 0,9999 |

Таблица 3: Результаты для образца SPE\_carb

| Модель              | Метрика |        |        |          |           |        |
|---------------------|---------|--------|--------|----------|-----------|--------|
|                     | logloss | PR-AUC | iou    | accuracy | precision | recall |
| carb96558           | 0,0666  | 0,9999 | 0,9886 | 0,9898   | 0,9980    | 0,9906 |
| SoilB-2             | 0,0349  | 0,9999 | 0,9873 | 0,9885   | 0,9904    | 0,9968 |
| Urna_22             | 0,4208  | 0,9994 | 0,9558 | 0,9604   | 1,0000    | 0,9558 |
| Carb96558 + SoilB-2 | 0,0342  | 0,9999 | 0,9884 | 0,9895   | 0,9914    | 0,9969 |
| Carb96558 + Urna_22 | 0,1753  | 0,9999 | 0,9789 | 0,9811   | 0,9998    | 0,9790 |
| SoilB-2 + Urna_22   | 0,0877  | 0,9999 | 0,9861 | 0,9875   | 0,9993    | 0,9868 |
| All                 | 0,0551  | 0,9999 | 0,9892 | 0,9903   | 0,9978    | 0,9914 |

Таблица 4: Результаты для образца SoilAh-1

| Модель              | Метрика |        |        |          |           |        |
|---------------------|---------|--------|--------|----------|-----------|--------|
|                     | logloss | PR-AUC | iou    | accuracy | precision | recall |
| carb96558           | 0,0560  | 1,0000 | 0,9928 | 0,9933   | 0,9987    | 0,9941 |
| SoilB-2             | 0,0110  | 1,0000 | 0,9950 | 0,9953   | 0,9957    | 0,9993 |
| Urna_22             | 0,3339  | 0,9997 | 0,9697 | 0,9715   | 1,0000    | 0,9697 |
| Carb96558 + SoilB-2 | 0,0236  | 1,0000 | 0,9948 | 0,9951   | 0,9973    | 0,9974 |
| Carb96558 + Urna_22 | 0,1059  | 0,9999 | 0,9891 | 0,9897   | 0,9996    | 0,9895 |
| SoilB-2 + Urna_22   | 0,0936  | 1,0000 | 0,9898 | 0,9904   | 0,9996    | 0,9902 |
| All                 | 0,0415  | 0,9999 | 0,9940 | 0,9943   | 0,9986    | 0,9953 |

Таблица 5: Результаты для образца SoilB-2



| Модель              | Метрика |        |        |          |           |        |
|---------------------|---------|--------|--------|----------|-----------|--------|
|                     | logloss | PR-AUC | iou    | accuracy | precision | recall |
| carb96558           | 0,1097  | 0,9995 | 0,9762 | 0,9788   | 0,9819    | 0,9941 |
| SoilB-2             | 0,1414  | 0,9972 | 0,9578 | 0,9615   | 0,9595    | 0,9982 |
| Urna_22             | 0,0728  | 0,9999 | 0,9891 | 0,9904   | 0,9972    | 0,9919 |
| Carb96558 + SoilB-2 | 0,0786  | 0,9995 | 0,9788 | 0,9810   | 0,9791    | 0,9996 |
| Carb96558 + Urna_22 | 0,0276  | 0,9999 | 0,9907 | 0,9917   | 0,9921    | 0,9986 |
| SoilB-2 + Urna_22   | 0,0218  | 0,9999 | 0,9904 | 0,9915   | 0,9911    | 0,9993 |
| All                 | 0,0268  | 0,9999 | 0,9881 | 0,9895   | 0,9884    | 0,9997 |

Таблица 6: Результаты для образца TeTree\_1

| Модель              | Метрика |        |        |          |           |        |
|---------------------|---------|--------|--------|----------|-----------|--------|
|                     | logloss | PR-AUC | iou    | accuracy | precision | recall |
| carb96558           | 0,0828  | 0,9997 | 0,9826 | 0,9845   | 0,9873    | 0,9951 |
| SoilB-2             | 0,1052  | 0,9986 | 0,9647 | 0,9678   | 0,9660    | 0,9985 |
| Urna_22             | 0,0665  | 0,9999 | 0,9911 | 0,9922   | 0,9985    | 0,9926 |
| Carb96558 + SoilB-2 | 0,0521  | 0,9998 | 0,9851 | 0,9867   | 0,9854    | 0,9997 |
| Carb96558 + Urna_22 | 0,0225  | 1,0000 | 0,9930 | 0,9939   | 0,9945    | 0,9986 |
| SoilB-2 + Urna_22   | 0,0165  | 1,0000 | 0,9934 | 0,9942   | 0,9944    | 0,9991 |
| All                 | 0,0175  | 1,0000 | 0,9917 | 0,9927   | 0,9920    | 0,9997 |

Таблица 7: Результаты для образца TeTree\_2

| Модель              | Метрика |        |        |          |           |        |
|---------------------|---------|--------|--------|----------|-----------|--------|
|                     | logloss | PR-AUC | iou    | accuracy | precision | recall |
| carb96558           | 0,2053  | 0,9988 | 0,9277 | 0,9361   | 0,9301    | 0,9972 |
| SoilB-2             | 1,1102  | 0,8174 | 0,8219 | 0,8223   | 0,8239    | 0,9970 |
| Urna_22             | 0,0250  | 0,9999 | 0,9868 | 0,9891   | 0,9890    | 0,9978 |
| Carb96558 + SoilB-2 | 0,3728  | 0,9883 | 0,9028 | 0,9118   | 0,9055    | 0,9967 |
| Carb96558 + Urna_22 | 0,0653  | 0,9998 | 0,9733 | 0,9774   | 0,9735    | 0,9997 |
| SoilB-2 + Urna_22   | 0,0782  | 0,9995 | 0,9690 | 0,9737   | 0,9707    | 0,9982 |
| All                 | 0,0971  | 0,9995 | 0,9629 | 0,9684   | 0,9641    | 0,9987 |

Таблица 8: Результаты для образца Urna\_30

| Модель              | Метрика |        |        |          |           |        |
|---------------------|---------|--------|--------|----------|-----------|--------|
|                     | logloss | PR-AUC | iou    | accuracy | precision | recall |
| carb96558           | 0,2159  | 0,9987 | 0,9306 | 0,9374   | 0,9330    | 0,9973 |
| SoilB-2             | 1,0337  | 0,8013 | 0,8401 | 0,8401   | 0,8418    | 0,9977 |
| Urna_22             | 0,0509  | 0,9998 | 0,9817 | 0,9843   | 0,9851    | 0,9965 |
| Carb96558 + SoilB-2 | 0,3634  | 0,9869 | 0,9057 | 0,9126   | 0,9079    | 0,9974 |
| Carb96558 + Urna_22 | 0,0708  | 0,9997 | 0,9749 | 0,9784   | 0,9756    | 0,9993 |
| SoilB-2 + Urna_22   | 0,0833  | 0,9993 | 0,9716 | 0,9755   | 0,9740    | 0,9975 |
| All                 | 0,1030  | 0,9992 | 0,9644 | 0,9690   | 0,9653    | 0,9990 |

Таблица 9: Результаты для образца Urna\_34

## 9 Заключение

В данной работе построена модель полносвёрточной нейронной сети для сегментации томографических изображений геологических пород.

Представлен алгоритм обучения и применения модели, показана простая возможность перехода от предсказаний вероятностей к бинарным предсказаниям.

Проанализировано качество работы моделей. На основе представленных экспериментальных данных делается вывод, что модели такого вида применимы на практике для широкого спектра пород, а так же возможно использование одной модели для различных типов пород.

В процессе работы обозначилось несколько важных моментов, на которые следует обратить внимание в дальнейших исследованиях:

1. В качестве обучающих данных для моделей в данной работе использовалась сегментация, полученная с помощью метода САС. Несмотря на то, что данный метод настраивал оператор, существуют образцы, качество сегментации которых с помощью данного метода будет низким. Это создаёт проблемы для тренировки любых обучаемых моделей, поэтому данный вопрос требует отдельного исследования.
2. Результаты показывают, что построенные в экспериментах модели, использующие в качестве обучающих данных 2-D изображения, применимы для сегментирования 3-D образцов(секция). Для более естественного учёта 3-D структуры входных данных целесообразно использовать в модели 3-D свёртки, и работать с объёмными данными напрямую.
3. Построение нейросетевых моделей с высокой обобщающей способно-

стью(для многих типов пород) требует более аккуратного и тщательного исследования.

## Список литературы

- [1] S. Karimpoulia , P. Tahmasebib, , H. L. Ramandic , P. Mostaghimid , M. Saadatfar, “Stochastic modeling of coal fracture network by direct use of microcomputed tomography images”, *International Journal of Coal Geology* 179, 153-163, 2017.
- [2] Jeff T. Gostick, “Versatile and efficient pore network extraction method using marker-based watershed segmentation”, *Physical Review E* 96, 2017.
- [3] S. Chauhan , W. Rühaak, , H. Anbergen , A. Kabdenov , M. Freise , T. Wille , I. Sass, “Phase segmentation of X-ray computer tomography rock images using machine learning techniques: an accuracy and performance study”, *Solid Earth*, 7, 1125–1139, 2016.
- [4] F. Khan , F. Enzmann, , M. Kersten, “Multi-phase classification by a least-squares support vector machine approach in tomography images of geological samples”, *Solid Earth*, 7, 481–492, 2016.
- [5] S. Chauhan , W. Rühaak, , F. Khan , F. Enzmann , P. Mielke , I. Sass, “Processing of rock core microtomography images: Using seven different machine learning algorithms”, *Computers & Geosciences*, 86, 120-128, 2016.
- [6] O. Ronneberger , P. Fischer , T. Brox, “U-Net: Convolutional Networks for Biomedical Image Segmentation”, *arXiv:1505.04597v1*, 2015.
- [7] L. Mosser , O. Dubrule, , Martin J. Blunt, “Reconstruction of three-dimensional porous media using generative adversarial neural networks”, *arXiv:1704.03225v1*, 2017

- [8] Brian L. DeCost , T. Francis , Elizabeth A. Holm, “Exploring the microstructure manifold: image texture representations applied to ultrahigh carbon steel microstructures”, arXiv:1702.01117v2, 2017
- [9] Ruijin Cang , Yaopengxiao Xu , Shaohua Chen , Yongming Liu , Yang Jiao ,M. Yi Ren, ‘Microstructure Representation and Reconstruction of Heterogeneous Materials via Deep Belief Network for Computational Material Design”, arXiv:1612.07401v3, 2017
- [10] N. Lubbers , T. Lookman , K. Barros, “Inferring low-dimensional microstructure representations using convolutional neural networks”, arXiv:1611.02764v1, 2016
- [11] A. S. Razavian , H. A. Josephine , S. S. Carlsson, “CNN Features off-the-shelf: an Astounding Baseline for Recognition”, arXiv:1403.6382v3, 2014.
- [12] A.P. Sheppard , R.M. Sok, , H. Averdunk, “Physica A: Statistical Mechanics and Its Applications”, Vol. 339, P. 145–151, doi:10.1016, 2004.
- [13] H. Deng , D.A. Clausi, “Improved Workflow for Unsupervised Multiphase Image Segmentation”, arXiv:1710.0967, 2017.
- [14] H. Deng , D.A. Clausi, “Unsupervised image segmentation using a simple MRF model with a new implementation scheme”, Pattern Recognition, 37, 2323-2335, 2004.
- [15] С.А. Эль-Хатиб, “Сегментация изображений с помощью смешаного и экспоненциального алгоритмов роя частиц”, Информатика и кибернетика, 1, 2015.

- [16] M. Pesaresi , J.A. Benediktsson, “A new approach for the morphological segmentation of high-resolution satellite imagery”, IEEE Transactions on Geoscience and Remote Sensing, 39, 309-320, 2001.
- [17] Cem M. Deniz , Siyuan Xiang , Spencer Hallyburton , Arakua Welbeck , Stephen Honig , Kyunghyun Cho , Gregory Chang, “Segmentation of the Proximal Femur from MR Images using Deep Convolutional Neural Networks”, arXiv:1704.06176, 2018.
- [18] Diederik P. Kingma ,Jimmy Lei Ba, “ADAM: A METHOD FOR STOCHASTIC OPTIMIZATION”, arXiv:1412.6980v9, 2017.
- [19] V. Iglovikov , S. Mushinskiy , V. Osin, “Satellite Imagery Feature Detection using Deep Convolutional Neural Network: A Kaggle Competition”, arXiv:1706.06169v1, 2017.